

بررسی ریخت‌زمین‌ساختی پهنه‌انتهای گسلی اطراف قوزلو (جنوب شرقی گسل شمال تبریز)

علیرضا یوسفی باویل^(۱)، محسن موید^(۲)

۱. دکتری ژئوتکتونیک و ژئودینامیک، دپارتمان ژئوتکتونیک و زمین‌شناسی منطقه‌ای، انسستیتو زمین‌شناسی آذربایجان، باکو، آذربایجان
۲. استاد گروه علوم زمین، دانشکده علوم طبیعی، دانشگاه تبریز

تاریخ دریافت: ۹۲/۵/۲۷

تاریخ پذیرش: ۹۴/۳/۹

چکیده

اثر سطحی گسل‌ها در پهنه‌انتهای گسلی قوزلو، واقع در انتهای جنوب شرقی قطعه‌ای از گسل شمال تبریز که به پهنه‌تغییر شکل بزقوش منتهی می‌گردد، نشان از تشکیل یک ساختار دم‌اسی است. هر چند که در مورد نوع این ساختار دم‌اسی و یا الگوی تغییر شکل آن اطلاعاتی در دست نیست. در این راستا بررسی‌های مربوط به توپوگرافی (مطالعه تغییرات نسبی ارتفاع در دو مقیاس در پهنه‌های حائل کل پهنه‌تغییر شکل و پهنه‌های اطراف آبراهه‌های جاری درون پهنه)، شبی سطح، شاخص عدم تقارن و اطلاعات زمین‌شناسی نشان می‌دهد که: ۱) پهنه‌انتهای گسلی از نوع ساختار دم‌اسی انقباضی است. ۲) درون پهنه‌انتهای گسلی رژیم زمین‌ساختی از نوع فشارشی حاکم بوده و روند حداکثر فشارش N۲۰-W-S۲۰-E است. ۳) در درون پهنه‌انتهای گسلی در طول دو آبراهه، دو پهنه‌گسلی متفاوت با حداکثر و حداقل فعالیت زمین‌ساختی شناسایی گردید. ۴) در داخل پهنه‌های گسلی مرتبط با آبراهه‌ها مولفه شبی‌لغز کلی از نوع معکوس یا رانده است. این نتایج اطلاعات مهمی درباره زمین‌ساخت پهنه‌انتهای گسلی قوزلو فراهم کرده و دانش ما در مورد تغییر شکل درون پهنه‌گسلی شمال تبریز را بهبود می‌بخشد. این بررسی همچنین اهمیت کاربرد پروفیل‌های حائل دار طولی آبراهه‌ها جهت حصول مستقیم داده‌های زمین‌ساختی از توپوگرافی را نشان می‌دهد.

واژه‌های کلیدی: پروفیل حائل دار، پروفیل طولی آبراهه، پهنه‌انتهای گسلی، ریخت‌زمین‌ساخت، گسل شمال تبریز.

پهنه‌ها به‌واسطه قطعه‌بندی گسلی، در هم‌کنش این قطعات و نیز ایجاد، رشد و تکامل گسل‌های فرعی‌تر ایجاد می‌شوند (برای مثال، Cartwright and Mansfield, 1998; Kim et al., 2001; De Joussineau and Aydin, 2009).

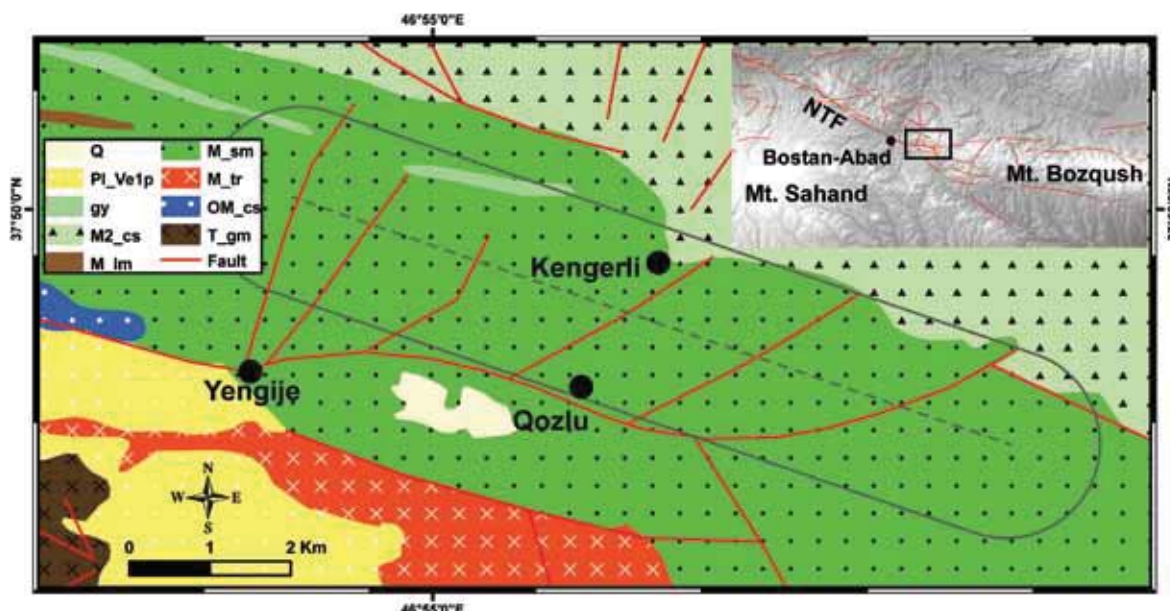
مقدمه

پهنه‌های انتهای گسلی یکی از ساختارهای رایج زمین‌شناسی در طول گسل‌های امتدادلغز می‌باشند. این

* نویسنده مرتبط: ayousefibavil@gmail.com; ayousefi@gia.ab.az

که در انتهای جنوب شرقی قطعه‌ای از گسل تبریز (قطعه «بستان آباد»، مابین قوروگل و ینگیجه) واقع شده است (شکل ۱) برای درک بهتر تغییر شکل قطعه گسلی مرتبط با گسل شمال تبریز در نظر گرفته شد.

با توجه به مکانیسم تشکیل این پهنه‌ها که به صورت ایجاد ساختارهای گسلی فرعی‌تر (رده بالاتر) نسبت به گسل اصلی یا رده پایین‌تر است، تعیین خصوصیات این پهنه‌ها می‌تواند به درک مکانیسم و الگوی تغییر شکل ساختارهای اصلی‌تر کمک کند. بر این اساس، بررسی پنهانه‌های گسلی، قوزلو



شکل ۱. نقشه زمین‌شناسی در اطراف پهنه‌انتهاي گسلی قوزلو؛ نقشه و نیز شرح و اختصارات آن برگرفته از نقشه زمین‌شناسی ۱:۱۰۰۰۰ بستان آباد است (بهروزی و همکاران، ۱۳۵۶). چند ضلعی توحالی با رنگ خاکستری پهنه‌حائل (درجه اول) در اطراف خط مرکزی (خط چین) که در آن مطالعات توپوگرافیک صورت گرفته را نشان می‌دهد. نقشه فرعی، پهنه گسلی را در انتهاي جنوب شرقی گسل شمال تبریز (قبل از عبور گسل از غرب کوه بی‌قوش) نشان می‌دهد؛ NTF نشانگر گسل، شمال تبریز است

مثال، مرادی سیاهکلی و همکاران، ۱۳۸۷ و Yousefi, Babil, 2013) اطلاعات زمین‌شناسی و صحرایی مربوط به پنهانه انتهای گسلی قوزلو محدود به نقشه‌های زمین‌شناسی است (بهروزی و همکاران، ۱۳۵۶) که بررسی اثر سطحی گسل‌های تعیین شده حاکی از وجود یک ساختار دماسبی می‌باشد ولی در مورد فعالیت زمین‌ساختی غالب در این پنهانه تغییر شکل از جمله فعالیت گسل‌های اصلی اطلاعات چندانی موجود نمی‌باشد. این ساختار دماسبی در انتهای جنوب شرقی خود به پنهانه تغییر شکل بزقوش منتهی می‌گردد (بهروزی و همکاران، ۱۳۵۶). در محدوده در برگیرنده پنهانه تغییر شکل قوزلو، در امتداد گسل شمال تبریز واحدهای سنگ‌شناسی الیگومن و میوسن (جناح شمال شرقی گسل) در مجاورت و بالاتر از واحدهای سنگ‌شناسی

به دلیل جایگیری فعالیت‌های زمین‌ساختی عمدۀ در محل گسل شمال تبریز، این گسل نقش مهمی در تکامل زمین‌ساختی (Eftekhar-Nezhad, 1991 ; Alavi, 1991) و متعاقباً ریخت‌شناسی (Yousefi-Bavil, 2012) در مقیاس منطقه‌ای و نیز محلی ایفا می‌کند. بدین خاطر، مطالعه این گسل از جنبه‌های مختلف همواره مد نظر بوده است. گسل مذکور که یک پهنه گسلی از نوع امتدادگذر راست‌گرد می‌باشد (آقانباتی، ۱۳۸۵) متشکل از قطعات متعدد همراه با پهنه‌های انتهای گسلی مختلفی است. این گسل دارای امتداد عمومی شمال غرب-جنوب شرق بوده و شبیب عمومی آن قائم می‌باشد (آقانباتی، ۱۳۸۵)؛ هر چندکه در مقیاس ریزتر، شبیب قطعات مختلف آن در جهات مختلف به مقدار اندکی از حالت قائم انحراف نشان می‌دهند (برای

قرار گرفت تا درکی بهتر از نوع و الگوی تغییرشکل در پهنه انتهای گسلی قوزلو به دست آید. نتایج به دست آمده از این مطالعه، اطلاعات ارزشمندی در مورد الگوی توزیع تغییر شکل (بالا آمدگی) در سطح پهنه تغییر شکل و نیز نوع و میزان فعالیت زمین ساختی در طول گسل های موجود در پهنه انتهای گسلی ارائه می کند.

داده ها و روش ها

برای بررسی های ریخت شناسی، وجود داده های توپوگرافی ضروری می باشد. این داده ها را می توان از نقشه های توپوگرافی و یا از داده های مدل رقومی ارتفاع به دست آورد. در این مطالعه، داده های مدل رقومی ارتفاع آستر^۱ که دارای دقت ۳۰ متر هستند برای استخراج داده های توپوگرافی و نیز استخراج شبکه آبراهه ها مورد استفاده قرار گرفت. این داده ها را می توان به کمک هر یک از نرم افزار های سیستم اطلاعاتی جغرافیایی^۲ استخراج کرد.

اندازه گیری تغییرات ارتفاع

پس از استخراج داده های مربوط به شبکه آبراهه ها،^۳ آبراهه (آبراهه های شماره ۳ تا ۸) که در درون پهنه انتهای گسلی جریان داشتند، انتخاب گردیدند (شکل ۲). برای این که تاثیر عامل تغییر سنگ شناسی به حداقل رسانده شود، داده های مربوط به آن قسمت از آبراهه ها که در روی یک واحد سنگ شناسی جریان داشتند، انتخاب و مورد بررسی قرار گرفت. برای این کار، یک پهنه حائل به طول تقریباً ۷/۵ کیلومتر و عرض ۲۲۰ متر در راستای تقریبی ۱۱۳° تشکیل داده شد (شکل ۱). در این پهنه حائل تغییرات ارتفاع به دو صورت اندازه گیری و ارزیابی گردید:

پلیوسن- کواترنر (جناح جنوب غربی گسل) قرار گرفته اند. سطح پهنه انتهای گسلی توسط واحد سنگ شناسی مربوط به میوسن (ماسه سنگ، مارن و سیلت سنگ) پوشیده می شود.

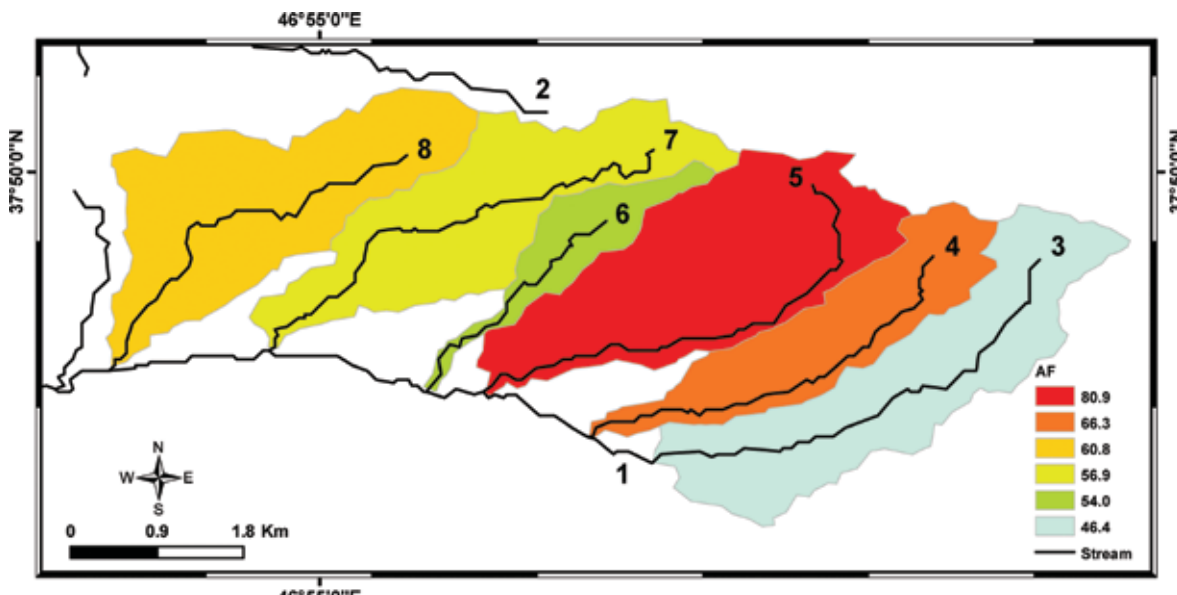
پهنه های انتهای گسلی به دلیل تمرکز زیاد تنفس ناشی از فعالیت های مربوط به رشد قطعات مختلف گسلی محل تشکیل پهنه های تغییر شکل فعال می باشند (Chinnery et al., 1966; Katz et al., 2003; de Joussineau and Aydin, 2009). به دلیل فعل بودن و تشدید مقدار فعالیت در این پهنه ها، عموماً ساختارهای زمین ساختی ایجاد شده به مرحله تکامل نرسیده و این ساختارهای در مقیاس های مختلف دارای روابط زمانی و مکانی پیچیده می باشند (Cartwright and Mansfield, 1998; Kim et al., 2001; Shipton and Cowie, 2001). بررسی جنبشی این پهنه ها بدون آگاهی از ساختار و زمین ساخت عمومی آن ها در مقیاس مناسب می تواند باعث سردرگمی و سوء تفسیر در مرحله مطالعات صحرایی گردد. بررسی ریخت زمین ساختی این پهنه ها می تواند به محقق، بینشی عمومی در مورد فعالیت های زمین ساختی پهنه های مذکور ارائه کند.

وجود ارتباط مستقیم بین فعالیت گسل اصلی و گسل های فرعی تر همراهی کننده آن با شکل گیری عوارض طبیعی و توپوگرافی پهنه درگیر با گسل ها، امکان استفاده از شاخص های ریخت شناسی برای تفسیر فعالیت های زمین ساختی را فراهم می سازد. در این راستا، شاخص های ریخت شناسی همچون تغییرات ارتفاع در سطح پهنه تغییر شکل، تغییرات ارتفاع و شیب سطحی در مجاورت امتداد طولی آبراهه ها و اطلاعات زمین شناسی موجود مورد بررسی

1. Digital Elevation Model

2. Aster

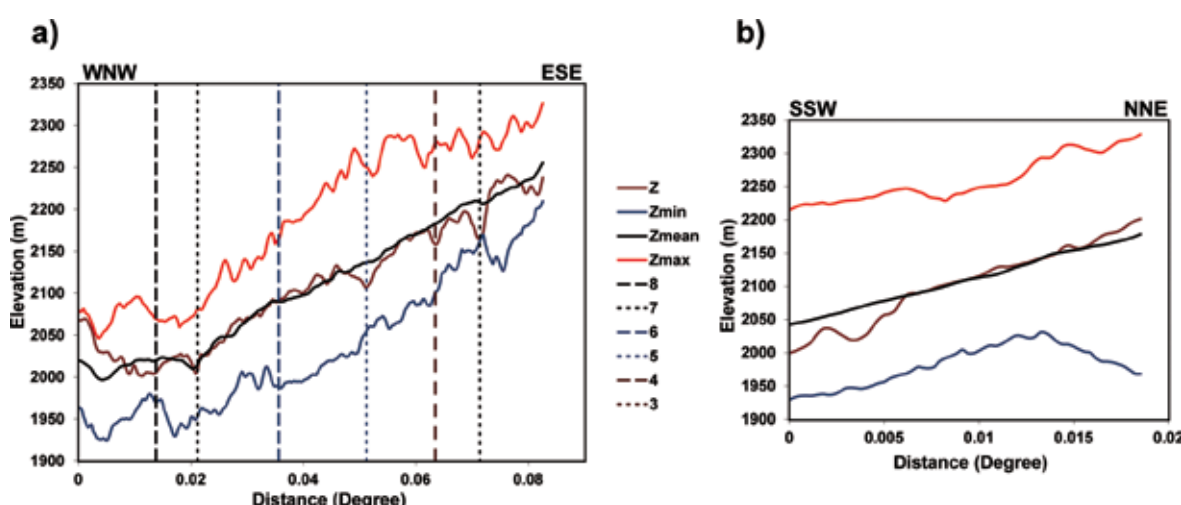
3. Geographic Information System (GIS)



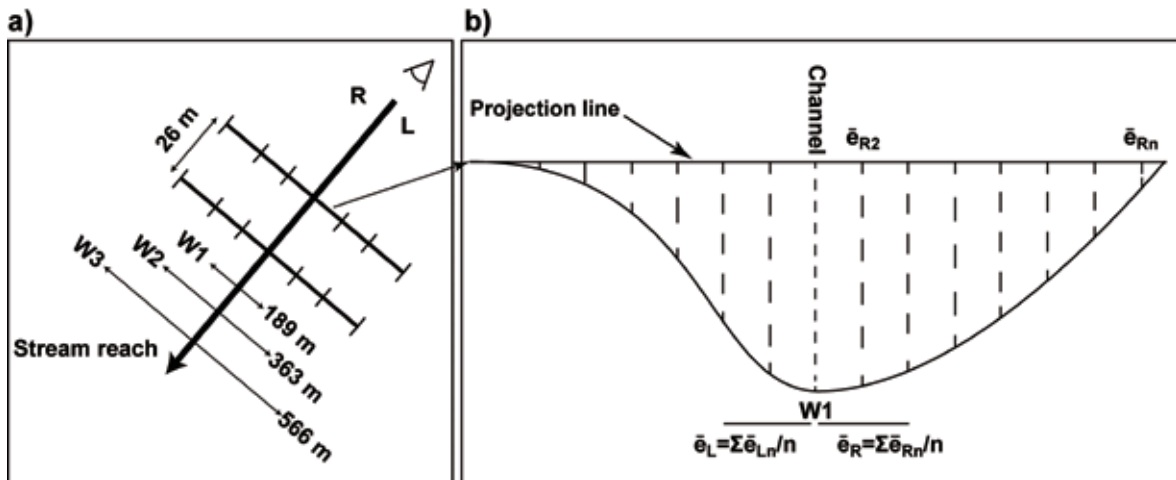
شکل ۲. آبراهه‌های انتخاب شده در پهنه انتهای گسلی قوزلو و حوضه آبریز مربوطه؛ اعداد درون نقشه شماره آبراهه را نشان می‌دهند. اعداد درج شده در شرح و اختصارات نقشه و رنگ‌های مربوطه، مقادیر شاخص عدم تقارن را نشان می‌دهند

۲. تغییر ارتفاع در سطح پهنه‌هایی که در امتداد پروفیل طولی آبراهه‌ها (پهنه حائل درجه دوم) تشکیل گردیدند (شکل ۴). تشکیل این پروفیل‌های حائل دار اجازه ارزیابی دقیق‌تر توپوگرافی و نهایتاً تعبیر و تفسیر فرایندهای زمین‌ساختی و فرسایشی را در امتداد ساختارهای زمین‌شناسی-عوارض توپوگرافیک (آبراهه‌ها) فراهم می‌سازد.

۱. تغییر ارتفاع در کل سطح پهنه حائل (پهنه حائل درجه اول). در امتداد طولی این پهنه، داده‌های ارتفاع در روی خط پروفیل و نیز ارتفاع حداقل، متوسط و حداکثر مربوط به سطح پهنه حائل اندازه‌گیری شد. به عنوان مکان‌های استناد، موقعیت آبراهه‌ها در محل قطع شدن‌شان با خط مرکزی پروفیل محاسبه و لحاظ گردید (شکل ۳).



شکل ۳. تغییرات ارتفاع در کل سطح پهنه حائل (درجه اول) در امتداد WNW-ESE و SSW-NNE که موازی با، به ترتیب خط مرکزی پهنه حائل (a) و عمود بر آن (b) هستند؛ منحی Z ارتفاع روی خط پروفیل و منحنی‌های حداقل، متوسط و حداکثر Z به ترتیب ارتفاع مربوطه در پهنه حائل را نشان می‌دهند. خطوط مربوط به اعداد ۳ تا ۸ موقعیت آبراهه‌ها را نشان می‌دهند



شکل ۴. تصویر شماتیک قسمت‌های سازنده مربوط به (a) پهنه‌های حائل دار (درجه دوم) در اطراف پروفیل طولی آبراهه و (b) مقطعی عرضی از پهنه حائل که در آن \bar{e}_L و \bar{e}_R به ترتیب نحوه محاسبه ارتفاع میانگین توپوگرافی در سمت راست و چپ آبراهه را نشان می‌دهند (W: عرض پنجه در پهنه حائل درجه دوم؛ n: تعداد نقاط نمونه‌برداری ارتفاع در طول خط تصویر)

لغش کنترل می‌شود (Jaeger, 2009). با توجه به این که عموماً عوامل تغییر شبیب مذکور، سنگ‌شناسی و نیز دیگر پارامترهای زمین‌شناسی (چسبندگی موثر، زاویه اصطکاک، فشار موثر) و اقلیمی در طرفین یک پهنه گسلی معین مشابه است، وجود توپوگرافی غیرمتقارن را می‌توان به هندسه، نوع حرکت و عملکرد گسل‌ها در پهنه گسلی نسبت داد. در این مطالعه، اهمیت اثر تغییرات اقلیمی خرد مقياس در مقابل اثر فعالیت‌های زمین‌ساختی در شکل‌گیری توپوگرافی ناچیز در نظر گرفته شد.

فرایند خروج ماده و فرسایی¹ بعد از تشکیل سطح شبیب‌دار یا پرتگاه (گسلی) فرایند غالب می‌باشد که عموماً از سطح آزاد در قسمت فوقانی پرتگاه گسلی شروع و به سمت پایین به محدوده‌های سقوط واریزه و تجمع مواد منتهی می‌شود (Huggett, 1985; Barrow-Huribert, 2007). به تفاوت و تاخیر در فرسایی و کاهش شبیب پرتگاه گسلی معکوس نسبت به نرمال اشاره می‌کند. در دو مدل پرتگاه گسلی مربوط به گسل‌های معکوس (مدل‌های "قائم تا اویزان"² و "تانک-پاشنله"³) این تاخیر در فرسایی و کاهش شبیب در ارتباط با تاخیر در تشکیل و رخنمون یافتنی سطح آزاد و

فرایندهای تغییر شکل در مجاورت آبراهه

آبراهه‌هارا می‌توان به عنوان ساختارهای ریخت‌شناسی در نظر گرفت که حاصل فعالیت‌های زمین‌شناسی / زمین‌ساختی بوده و در بازه وسیعی (از نظر مقیاس مکانی) در حجم یک توده زمین‌شناسی تغییر شکل یافته، نفوذ کرده‌اند. درزه‌ها، رایج‌ترین ساختار زمین‌شناسی در سطح زمین بوده و به همراه گسل‌ها با ایجاد سطوح مسطح باعث از هم جدا شدن توده‌های سنگی بکر می‌شوند (Jaeger et al., 2007). این ساختارها می‌توانند مسیر جریان آب را فراهم کنند. پهنه‌های گسلی (که دارای ضخامت متغیری بین چند سانتی‌متر تا یک کیلومتر یا بیشتر هستند) مت Shank از صفحات بی‌شمار سطوح گسلی نزدیک به هم بوده که جابجایی در طول آن‌ها صورت می‌گیرد. پهنه‌های سخیم‌تر، بیشتر سبب خردشده و ضعیف شدن بیشتر توده سنگ‌ها می‌گردد. دیواره دره‌های ایجاد شده توسط این ساختارهای شکننده در مرحله بعدی در معرض فرایندهای فرسایش و تغییر شبیب قرار می‌گیرد. این تغییر شبیب توسط عواملی همچون شبیب سطوح سنگی، وجود و یا نبود لایه‌بندی و ارتباط آن با شبیب سطوح آزاد ناشی از ایجاد ساختارهای شکننده، عمق این ساختارها و نیز شکل عمومی سطوح

1. Degradation

2. Vertical to Overhanging Model

3. Tank-tread Model

پروفیل حائل دار در امتداد طولی آبراهه پهنه های حائل درجه دوم (پروفیل های حائل دار) به صورت متقارن نسبت به مسیر کانال آبراهه ها و با عرض کلی ۵۶۶ متر تشکیل گردیدند (شکل ۴). داده های ارتفاع در این پروفیل های حائل دار در سه پنجره با عرض های تقریبی $W1 = 189$, $W2 = 363$ و $W3 = 566$ مورد ارزیابی قرار گرفتند (عرض پنجره ها به صورت تصاعدی افزایش می یابد و اعداد برحسب متر می باشند). فاصله بین نقاط نمونه برداری در طول مسیر آبراهه ها تقریباً ۲۶ متر و در عرض مقاطع (در پنجره ها) $14/5$ متر می باشد. سمت راست و چپ آبراهه ها براساس نگاه از بالا دست به سمت پایین دست رودخانه تعیین گردید. در طول هر آبراهه و برای هر یک از سه پنجره تعیین شده ارتفاع میانگین توپوگرافی در طرف راست \bar{e}_R و چپ \bar{e}_L آبراهه در روی مقاطع عرضی به طور مجزا و به صورت روابط ۱ و ۲ محاسبه گردید:

$$\bar{e}_R = \sum \bar{e}_{Rn} / n \quad (1)$$

$$\bar{e}_L = \sum \bar{e}_{Ln} / n$$

که در این روابط n تعداد نقاط نمونه برداری در طول خط تصویر در مقاطع عرضی را نشان می دهد؛ سپس اختلاف به دست آمده برای هر پنجره در هر مقطع عرضی به نقطه تلاقی خط پروفیل عرضی با خط پروفیل آبراهه اختصاص داده شد. به طور نظری اختلاف نسبی ارتفاع میانگین طرفین آبراهه ها^۵ در روی مقطع عرضی مابین صفر و بی نهایت تغییر می کند، اما در عمل مقدار این پارامتر با تغییرات اندک در اطراف عدد ۱ نوسان می کند. بنابراین می توان مقادیر ارتفاع میانگین سمت راست و چپ در طول آبراهه های مختلف را در یک نمودار رسم کرده و با استفاده از براش خطی که عرض از مبدأ آن از صفر عبور می کند، مقدار شبیه (b) خط راست براش شده را به دست آورد. در صورتی که \bar{E}_R و \bar{E}_L به ترتیب ارتفاع میانگین سمت راست و چپ پروفیل حائل دار در نظر گرفته شود، $b < 1$ و $b > 1$ خواهد بود اگر به ترتیب $\bar{E}_L \bar{E}_R$ و $\bar{E}_R \bar{E}_L$ باشد.

استمرار طولانی تر آن می باشد؛ زیرا هندسه گسل معکوس و نوع حرکت در امتداد سطح گسلی باعث کوتاه شدن گپوسته و جایگیری توده سنگی بیشتر در راستای شاقولی در محل گسلش می شود (McLeish, 1992; Moores and Twiss, 1995). در نتیجه، فرایندهای فرسایشی نیاز به مدت زمان بیشتری جهت فرسایش ماده بالآمد و فروساپی سطح آزاد توده سنگی (دیواره دره) دارند. بنابراین هندسه و عملکرد گسل ها ایجاد می کند، گسل هایی که مولفه شبیل غز در آن ها از نوع معکوس یا راندگی است در مقایسه با آن هایی که دارای مولفه از نوع نرمال می باشند، در تعامل با فرایندهای فرسایشی باعث ایجاد دره هایی با شبیل بیشتر و دیواره مرتفع تر می شوند.

با توجه به این که حوضه های مورد بررسی مربوط به قسمت های بالادستی رودخانه و نزدیک به آب پخشان^۱ هستند، انرژی آب در این آبراهه ها خصوصا در جهت عمود بر آبراهه ها زیاد نبوده و فرایند فروساپی و کاهش شبیب در دیواره های دره به صورت فرایندهای "تامین- محدود"^۲ (Huggett, 2007) خواهد بود. در این شرایط تغییر شبیب عمده ا از طریق سقوط و لغزش توده های سنگی صورت می گیرد. در نتیجه، تغییرات ارتفاع در طرفین آبراهه های بیشتر در ارتباط با فعالیت های فیزیکی (زمین ساختی، نیروی ثقل، تغییر حجم مایع بین منفذی و باد) خواهد بود. بنابراین فضایابی پهنه های ضعیف شده با منشا زمین ساختی، تغییرات محلی ارتفاع در اطراف پهنه های حائل درجه دوم را تحت تاثیر قرار خواهد داد. بدین صورت که فعالیت تمکن کنتر در پهنه های گسلی باعث ضعیف شدن گپوسته، تاثیر بیشتر فرایندهای فرسایشی و در نتیجه کاهش محلی ارتفاع می شود. تغییر در تنگ شدن یا عریض شدن گپوسته تغییر شکل فعل، در ارتباط با نرم شدن گپوسته واتنش و یا سخت شدن گپوسته واتنش در محل پهنه های برشی می باشد. در حالی که نرم شدن گپوسته واتنش باعث تمرکز تغییر شکل و تشدید آن می شود، سخت شدن گپوسته واتنش باعث کاهش تمرکز تغییر شکل و عریض شدن محدوده پهنه تغییر شکل (با تغییر محل تمرکز فعالیت از درون پهنه برشی به سمت دیواره های آن) می شود (Davis and Reynolds, 1996; Wibberley et al., 2008)

1. Watershed

2. Supply-limited

عوارض ساختاری- تپیوگرافیک (مناطق ضعیف شدگی ناشی از فعالیت های زمین ساختی- آبراهه ها) مشاهده کرد. در کل می توان گفت که تشکیل پروفیل حائل دار برای کل پهنه تغییر شکل علی رغم این که الگوی تغییر ارتفاع را برای پهنه مشخص می کند ولی به دلیل اعمال تجمیع و میانگین گیری، جزئیات الگوی تغییر ارتفاع را آشکار نمی کند.

در بررسی پروفیل های حائل دار درجه دوم (مربوط به پهنه های اطراف آبراهه ها) مشاهدات مربوط به توزیع b (شکل ۵) منحنی های مربوط به ۵ برای تمامی آبراهه ها و در سه پنجره متفاوت (شکل ۶) حاکی از آن است که:

۱. مقدار b برای تمامی آبراهه ها در هر سه پنجره بیشتر از ۱ بوده و علامت آن مثبت می باشد. به عبارت دیگر، طرف راست آبراهه ها نسبت به طرف چپ دارای ارتفاع بیشتری است.
۲. در امتداد آبراهه های مورد بررسی به غیر از آبراهه شماره ۳ (شماره ۴ تا ۸)، مقدار b با افزایش عرض پنجره افزایش می یابد. در آبراهه شماره ۳، مقدار b پنجره سوم به جای افزایش، کاهش می یابد.
۳. با در نظر گرفتن تغییرات b در مورد هر یک از آبراهه ها، بزرگترین و کوچکترین تغییر b به ترتیب مربوط به آبراهه شماره ۵ و شماره ۶ می باشند. بیشترین مقدار تغییر b در میان پنجره ها مربوط به پنجره سوم می باشد.
۴. مقادیر b متوسط به دست آمده از میانگین گیری b هر سه پنجره (Wa) برای تمامی آبراهه ها روندی نزدیک به افق را نشان می دهد. این مقادیر متوسط به مقادیر b پنجره دوم نزدیک هستند. مقدار متوسط b به دست آمده از داده های پنجره متوسط برابر با ۱/۰۴ می باشد.
۵. در حالی که مقادیر b مربوط به پنجره اول روندی عموماً صعودی از سمت شمال غرب به سمت جنوب شرق نشان می دهند، داده های پنجره سوم روند عمومی نزولی را نشان می دهند.

شاخص عدم تقاضا

علاوه بر مطالعه مربوط به ارتفاع تپیوگرافی، شاخص عدم تقاضا (AF) برای حوضه زهکشی آبراهه های انتخاب شده با محاسبه مساحت کل حوضه و نیز سمت راست حوضه (سمت راست آبراهه با نگاه به سمت پایین دست آبراهه) و براساس رابطه ۳ تعیین گردید:

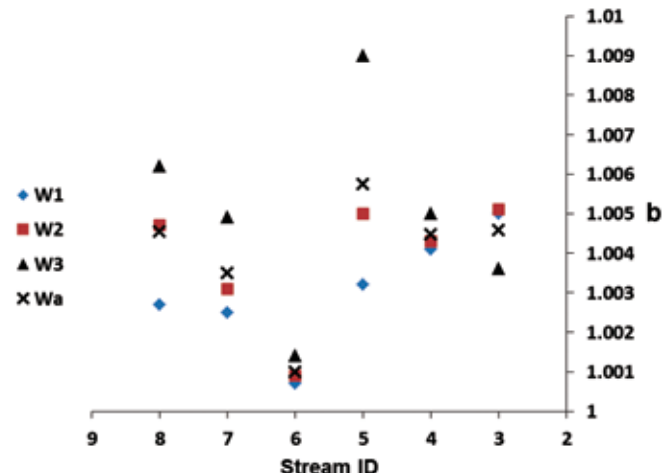
$$AF=100(A_r/A_t) \quad (3)$$

در این رابطه Ar مساحت سمت راست حوضه و At مساحت کل حوضه می باشد. این شاخص می تواند اطلاعاتی در مورد کج شدگی زمین ساختی در مقیاس حوضه زهکشی و یا مناطق بزرگتر ارائه کند (Keller and Pinter, 1996).

نتایج

بررسی پروفیل حائل دار درجه اول (مربوط به کل سطح پهنه تغییر شکل) بیان گر تغییر محسوس ارتفاع در امتداد E-SE-W-NW-E-SE است، به طوری که ارتفاع به سمت E-SE افزایش می یابد (شکل ۳). در حالی که تغییرات مربوط به ارتفاع حداقل بین آبراهه های شماره ۸ تا ۵ به صورت تیز و مثبت (افزایش ارتفاع) است، مقدار این تغییر مثبت بین آبراهه های ۵ تا ۳ کم می باشد. از طرف دیگر، تغییرات مربوط به ارتفاع حداقل دارای روند عمومی مثبت ولی غیر یکنواخت است. بررسی اختلاف ارتفاع مابین ارتفاع حداقل و حداقل نشان می دهد که این اختلاف در حدفاصل بین آبراهه های شماره ۶ تا ۴ نسبت به دیگر مناطق زیاد می باشد. منحنی مربوط به ارتفاع متوسط نیز نشان گر افزایش مداوم و نرم (برجستگی ملایم) ارتفاع در پهنه انتهای گسلی به سمت E-SE می باشد.

بررسی کل منحنی های به دست آمده حاکی از آن است که به غیر از منحنی مربوط به ارتفاع در روی خط پروفیل که محل آبراهه ها و دره های مربوطه را نشان می دهد، نمی توان ارتباطی مستقیم و سیستماتیک بین دیگر منحنی ها و



شکل ۵. توزیع شیب b منحنی مربوط به اختلاف نسبی ارتفاع میانگین طرفین آبراهه‌ها (δ) برای سه پنجره با عرض متفاوت (W1, W2, W3)، به علاوه مقادیر b متوسط بدست آمده از میانگین‌گیری b برای هر سه پنجره (Wa)

زمین‌ساختی از نوع فشارشی در جهت شرق جنوب شرق و یا به افزایش فعالیتهای زمین‌ساختی از نوع کششی در جهت غرب شمال غرب نسبت داد. افزایش اختلاف ارتفاع بین منحنی‌های مربوط به ارتفاع حدائق و حداکثر در منطقه مابین آبراهه‌های شماره ۶ تا ۴ و نیز وجود اختلاف ارتفاع مشابه (با یکدیگر) ولی کمتر در طرفین این منطقه حاکی از تشدید فعالیت زمین‌ساختی در این محدوده می‌باشد. به طور کلی می‌توان گفت که مطالعه تغییرات توپوگرافی در کل سطح پهنه حائل (پهنه حائل درجه اول) علی‌رغم تعیین الگوی فعالیت زمین‌ساختی، در مورد مکانیسم تشکیل آن تعیین‌کننده در اختیار قرار نمی‌دهد.

بررسی شاخص عدم تقارن حوضه‌های آبرین، اختلاف نسبی ارتفاع میانگین و شیب سطحی در طرفین آبراهه‌ها از روش‌هایی هستند که می‌توان از آن‌ها برای تعیین توپوگرافی نامتقارن و متعاقباً شناسایی فعالیت گسل‌های درگیر (در مجاور مسیر آبراهه) استفاده کرد. در مقیاس پهنه حائل درجه اول، مقادیر شاخص عدم تقارن محاسبه شده حاکی از کچشیدگی حوضه‌های سمت جنوب شرق می‌باشند (شکل ۲). با توجه به این که در محدوده این پهنه حائل، ارتفاع از سمت غرب شمال غرب به سمت شرق جنوب شرق (موازی با پهنه حائل (293° - 113°)) و نیز از سمت جنوب غرب به

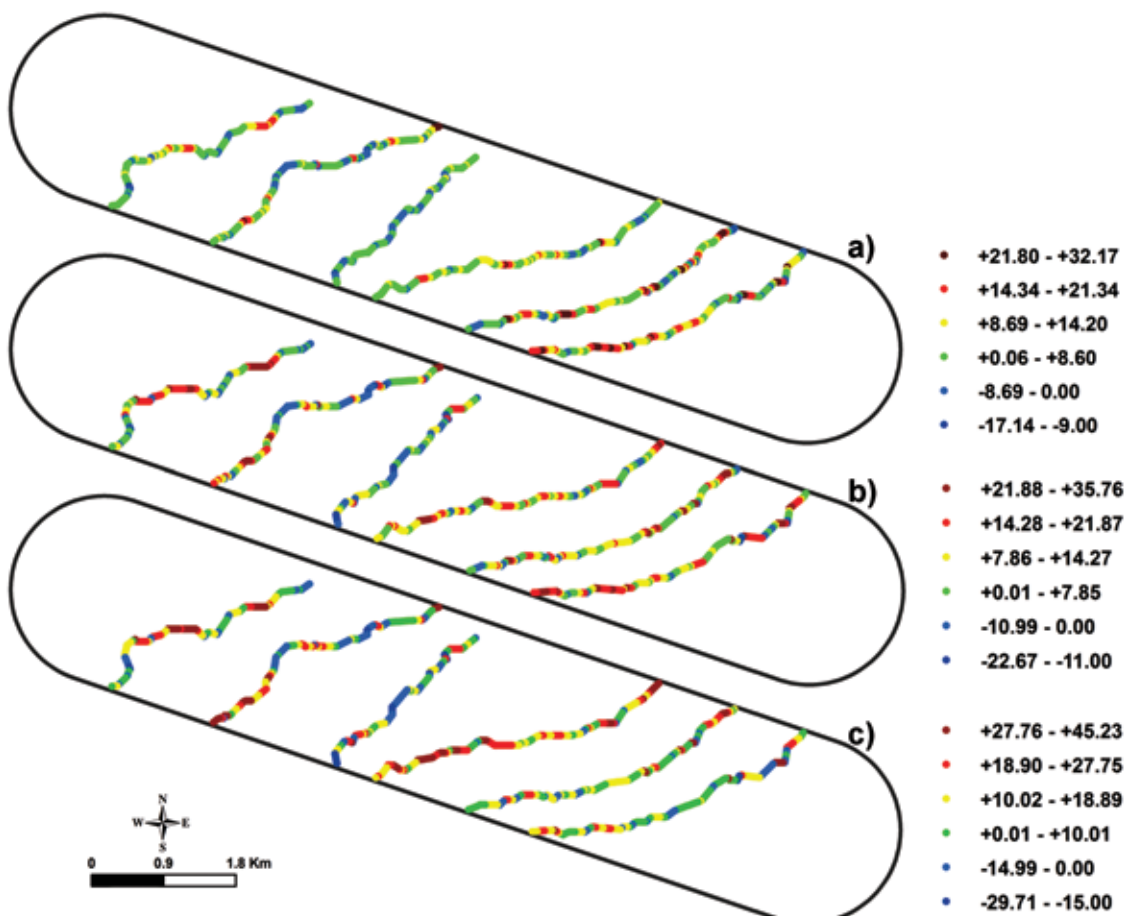
محاسبه شاخص عدم تقارن حوضه‌های مربوط به آبراهه‌های انتخاب شده نشان می‌دهد که به غیر از حوضه مربوط به آبراهه شماره ۳، تمامی حوضه‌ها دارای مقدار شاخص عدم تقارن بیشتر از ۵۰ می‌باشند (شکل ۲). به عبارت دیگر، نسبت به آبراهه‌ها، سمت راست حوضه‌ها در مقایسه با سمت چپ دارای مساحت بیشتری است. در میان حوضه‌های آبرین کمترین و بیشترین مقدار عدم تقارن به ترتیب مربوط به حوضه‌های شماره ۳ و ۵ می‌باشد.

بحث

با توجه به این که توپوگرافی، برآیند فرایندهای بالآمدگی و فرسایش می‌باشد، افزایش ارتفاع توپوگرافیک بیان گرچیرگی فرایندهای بالآمدگی نسبت به فرسایشی می‌باشد. در همین راستا، در پهنه انتهاي گسلی اطراف قزلو (پهنه حائل درجه اول)، روند مثبت ارتفاع از سمت غرب شمال غرب به سمت شرق جنوب شرق پهنه می‌تواند نشان‌گر افزایشی نسبی در شدت نیروهای بالآمدگی نسبت به نیروهای فرسایشی باشد (شکل ۳). این افزایش نسبی را می‌توان از روند مثبت ارتفاع حدائق مشاهده شده نیز استنباط کرد؛ بدین نحو که روند صعودی مقدار ارتفاع حدائق، نشان‌گر بالآمدگی نسبی سطح تراز محلی به سمت شرق جنوب شرق است. این افزایش را می‌توان به افزایش فعالیتهای

آن‌ها در بلافصل کanal آبراهه‌ها بیشتر می‌باشد (شکل ۷). نظر به شیب سطحی مذکور و اختلاف در مقادیر بالآمدگی (بالآمدگی بیشتر سمت راست)، افزایش ارتفاع نسبی در جهت شرق جنوب شرق در کل پهنه تغییر شکل (شکل ۳) و همچنین شواهد زمین‌شناسی (مرتبط بودن پهنه گسلی با گسل راست‌گرد شمال تبریز و نیز شیب لایه‌بندی به سمت شمال شرق در داخل پهنه گسلی) می‌توان تشکیل دره‌های گسلی (پرتگاه‌های گسلی) را مرتبط با گسل‌هایی با مولفه معکوس و یا رانده دانست و مکان هندسی این آبراهه‌ها را به عنوان پهنه‌های گسلی دارای مولفه معکوس در نظر گرفت که در اطراف آن‌ها بلوك سمت راست پهنه گسلی (آبراهه) روی بلوك سمت چپ رانده می‌شود. بنابراین در کل می‌توان مکانیسم موثر در شکل‌گیری توپوگرافی مشاهده شده را به رژیم فشارشی و گسلش معکوس و یا رانده مرتبط با تغییر شکل برشی ساده نسبت داد.

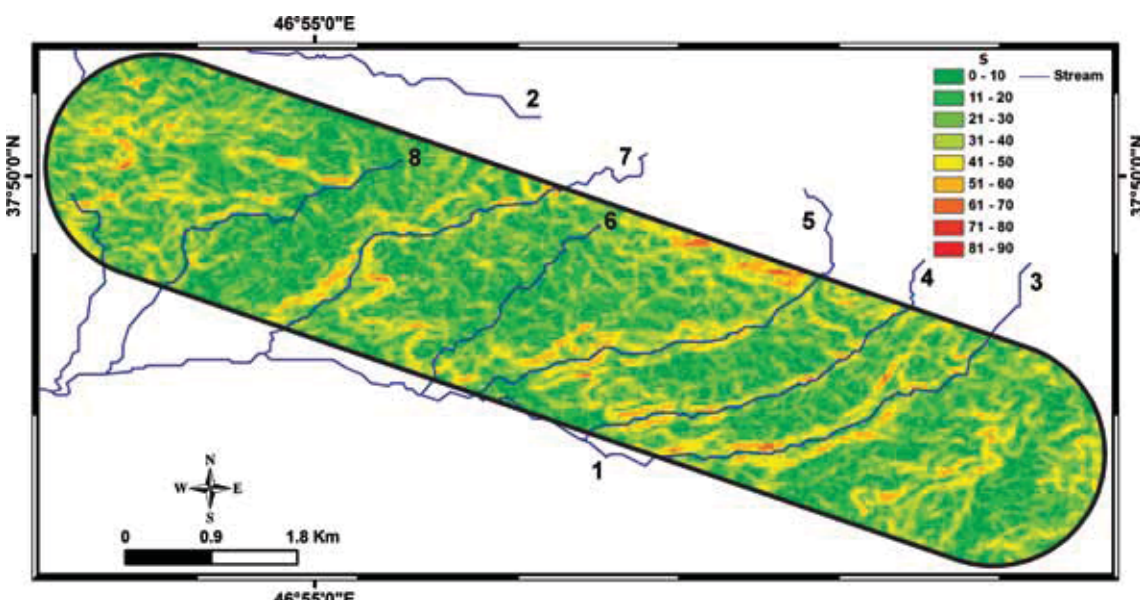
شمال شمال شرق (عمود بر امتداد پهنه حائل ($20^{\circ} - 23^{\circ}$)) افزایش می‌باید (شکل ۳)، می‌توان گفت که در سطح کل پهنه، ارتفاع به سمت شرق شمال شرق افزایش می‌باید. بنابراین الگوی کج‌شدگی و افزایش ارتفاع مذکور نشان می‌دهد که بالآمدگی در سمت راست حوضه‌ها نسبت به سمت چپ آن‌ها بیشتر است. در ارتباط با پهنه‌های حائل درجه دوم نیز چیرگی مقادیر مثبت δ در طول آبراهه‌ها (شکل ۶) و نیز مقادیر δ بالاتر از ۱ برای تمامی آبراهه‌ها در تمامی پنجره‌ها (شکل ۵) نشان‌گر غلبه داشتن نیروهای بالآمدگی نسبت به نیروهای فرسایشی در سمت راست محدوده حائل اطراف آبراهه‌ها است که خود را در وجود توپوگرافی مرتفع تر و به عبارت دیگر در وجود بیشتر مواد تشکیل‌دهنده زمین نسبت به فضای خالی نشان می‌دهد. از طرف دیگر، بررسی شیب سطحی در کل پهنه نشان می‌دهد که عموماً شیب دیواره دره‌ها در سمت راست آبراهه‌ها نسبت به سمت چپ



شکل ۶. تغییرات نقطه به نقطه اختلاف نسبی ارتفاع میانگین طرفین آبراهه‌ها (δ) برای سه پنجره با عرض متفاوت؛ a، b و c به ترتیب مربوط به W1، W2 و W3 هستند. اعداد نشان داده شده در شرح و اختصارات هر نقشه مربوط به مقادیر δ بوده و برحسب متر هستند

فعالیت در محدوده حدفاصل آبراهه‌های مذکور است، مقدار پایین b در هر سه پنجره برای آبراهه شماره ۶ نشان‌گر جوان بودن فعالیت‌های زمین‌ساختی و فرسایش در اطراف این آبراهه بوده که خود حاکی از جوان بودن پهنه گسلی مربوطه می‌باشد. فعالیت‌های زمین‌ساختی در مجاور آبراهه شماره ۴ نیز با توجه به مقادیر بالا (با b تقریبی $1/100^4$) و نزدیک به هم b حائز اهمیت است. این نزدیکی مقادیر می‌تواند اشاره به مشابه بودن شرایط زمین‌ساختی در عرض هر سه پنجره باشد.

در صورتی که مقدار متوسط b حاصل از پنجره متوسط به کل پهنه انتهای گسلی تعیین داده شود، می‌توان گفت که اختلاف نسبی بالاًمدگی در طرفین آبراهه‌ها در حدود $1/100^4$ است (شکل ۵). در نگاه جزئی‌تر، براساس مقادیر پارامتر b، می‌توان گفت که بیشترین مقدار فعالیت‌های زمین‌ساختی در مجاور آبراهه شماره ۵ (با b تقریبی $1/100^5$) و کمترین آن‌ها در اطراف آبراهه شماره ۶ (با b تقریبی $1/100^1$) صورت می‌پذیرد. در حالی‌که، وجود بیشترین اختلاف بین منحنی ارتفاع حداکثر و حداقل مابین آبراهه‌های ۶ تا ۴ مovid افزایش



شکل ۷. تغییرات شیب سطحی در داخل پهنه حائل درجه اول؛ S درجه شیب سطحی را نشان می‌دهد

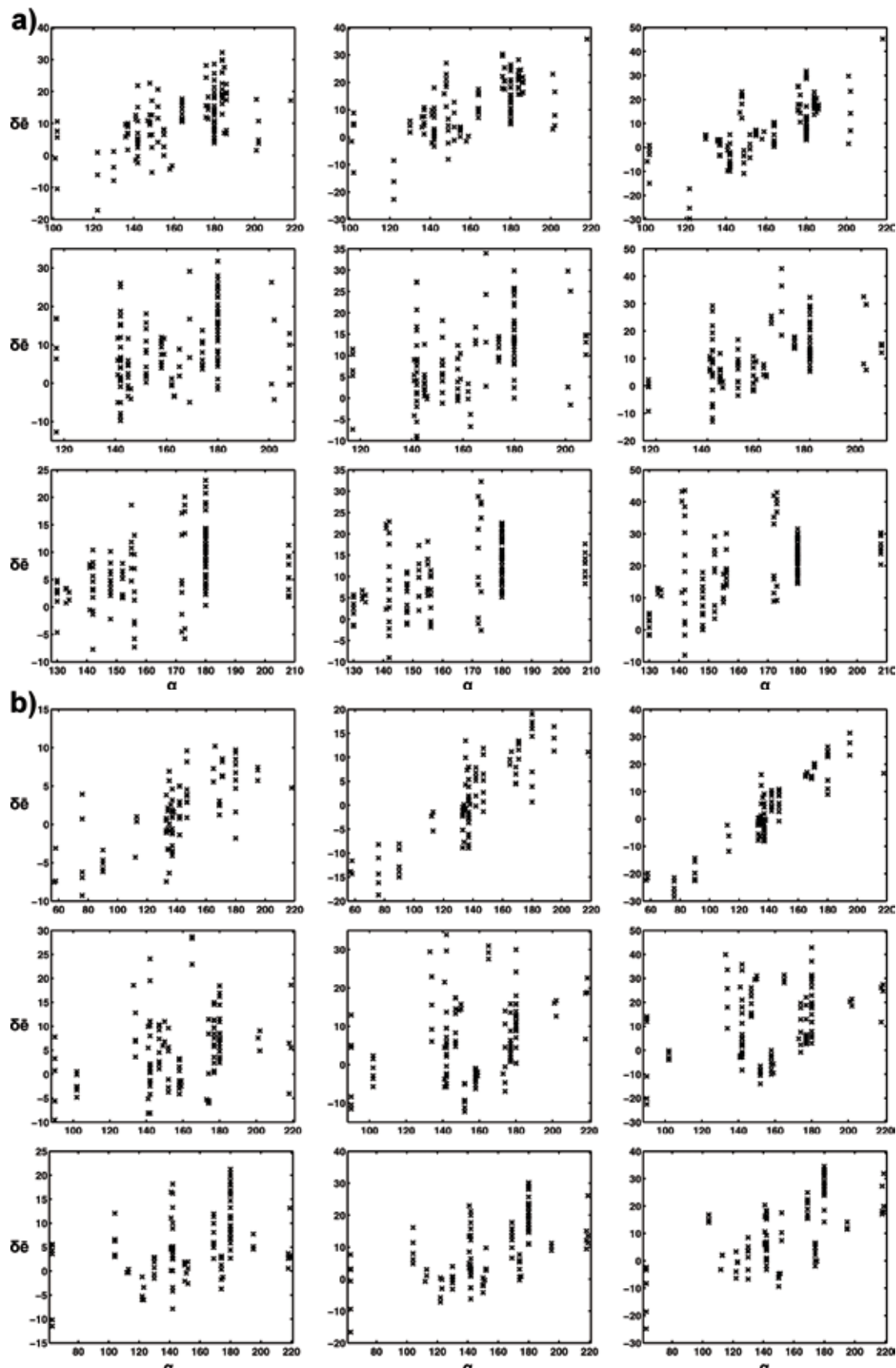
آبراهه به‌واسطه افزایش فعالیت‌های زمین‌ساختی متمرکز (پهنه‌های با نرم‌شدگی و اتنش)،^۳ تاثیر هم‌زمان دو فرایند بالا و^۴ وجود سنگ‌شناسی مقاوم در سمت راست آبراهه نسبت به سمت چپ آن نسبت داد. به عنوان مثال این تغییر شدید را می‌توان در آبراهه شماره ۵ مشاهده کرد، جایی که b مربوط به پنجره سوم نسبت به دو پنجره قبلی خیلی افزایش یافته است. این افزایش مربوط به کاهش ارتفاع توپوگرافی به‌دلیل قرار گرفتن حاشیه پنجره در حوضه مجاور (حوضه‌ای خیلی کوچک مابین حوضه‌های مربوط به آبراهه‌های ۴ و ۵ (شکل ۲) که در نزدیکی گسل رده پایین‌تر است) در جایی می‌باشد که فعالیت‌های شدید و متمرکز زمین‌ساختی در

با توجه به این که تغییر در توپوگرافی و یا در نسبت مواد تشکیل‌دهنده زمین به فضای خالی حاصل برآیند فرایندهای زمین‌شناسی / زمین‌ساختی و فرسایش است، تفسیر داده‌ها براساس هر دو نوع فرآیند باقیستی به صورت هم‌زمان صورت گیرد. برای مثال، در این بررسی با توجه به این که تغییرات ارتفاع در طرفین آبراهه‌ها در پنجره‌هایی با عرض فرازینده مورد بررسی قرار گرفته است، افزایش شدید مقدار b برای پنجره‌های با عرض بیشتر را می‌توان به^۱ افزایش شدید ارتفاع در سمت راست آبراهه به موجب کمی نرخ هوازدگی که در کل باعث چیرگی بالاًمدگی زمین‌ساختی بر فرسایش می‌شود.^۲ افزایش فرسایی و کاهش شیب در سمت چپ

بيان گر اعمال یک نیروی فشارشی در امتداد NNW-SSE می باشد. این امتداد با امتداد قطعه مجاور گسل شمال تبریز (۲۰°) و گسل اصلی جنوبی محدود کننده پهنه انتهای گسلی قوزلو (۱۱۵°) به ترتیب زاویه ۴۰° و ۴۵° تشکیل می دهد. این زوایا با امتداد حداکثر تنش فشاری ایده ال جهت تشکیل پهنه برشی گسل شمال تبریز و نیز پهنه انتهای گسلی قوزلو کاملاً انطباق دارد. امتداد N20W-S20E همچنین در مقیاسی بزرگتر با امتداد حداکثر کوتاه شدگی تقریبی N-S به دست آمده از بررسی داده های (Vernant et al., 2004), GPS، امتداد عمومی NW-SE به دست آمده از حل مکانیسم کانونی زلزله ها؛ Talebian and Jackson, 2002؛ سیاهکلی و همکاران، (۱۳۸۷) و در مقیاس محلی نیز با جهت یافته ای مازیمیم تنش فشارشی (۳۵۵°/۱۱°) به دست آمده از مطالعات دیرینه تنش در ارتفاعات مشرف به گسل شمال تبریز و بستان آباد، واقع در سمت شمال غرب پهنه انتهای گسلی قوزلو (Yousefi-Bavil, 2013) در تطابق می باشد.

کنار پهنه گسلی اصلی امری مورد انتظار است.

بررسی توزیع آزیموتی پارامتر δ در هر سه پنجره و برای تمامی آبراهه ها (شکل ۸) نشان گر تمرکز مقادیر بالای δ در طول قسمت هایی از آبراهه ها با امتداد شرق-غرب (پروفیل های عرضی با آزیموت ۱۸۰°) و شمال شرق-جنوب غرب (پروفیل های عرضی با آزیموت ۱۴۰°) است. علاوه بر این، توزیع آزیموتی δ اغلب بین این دو آزیموت می باشد. این بدان معناست که امتداد قسمت های مختلف آبراهه ها در پهنه انتهای گسلی قوزلو عموماً بین ۰۹۰° تا ۰۵۰° در تغییر است. این تک رو بالا بودن مقادیر بالا آمدگی (مقادیر مثبت) در آزیموت های بین ۱۴۰° تا ۱۸۰° با در نظر گرفتن انطباق مکانی مابین آبراهه و گسل نشانه افزایش نیروهای فشارشی در راستای موازی با امتدادهای مرتبط می باشد. با توجه به توزیع آزیموتی مذکور می توان آزیموت ۱۶۰° را به عنوان آزیموت عمومی و متوسط که در امتداد مربوط به آن (۱۶۰°-۳۴۰°) بیشترین مقدار بالا آمدگی و کوتاه شدگی مشاهده می شود، محسوب کرد. بنابراین، الگوی بالا آمدگی مذکور



شکل ۸. توزیع آزیموتی پارامتر δ در هر سه پنجه و برای تمامی آبراهه‌ها؛ α : آزیمут را بر حسب درجه نشان می‌دهد. نمودارها از چپ به راست به ترتیب مربوط به پنجه‌های اول تا سوم و از بالا به پایین مربوط به آبراهه‌های ۳ تا ۸ می‌باشند. (a) آبراهه‌های ۳-۵-۶-۷-۸ (b) آبراهه‌های ۳-۴-۵-۶

می‌رود در اطراف پهنه گسلی مربوط به آبراهه شماره ۶ باشد، جایی که متوسط اختلاف نسبی ارتفاع میانگین کمترین مقدار را دارد (کوچکترین b). این نتایج اطلاعات مهمی درباره ساختار زمین‌ساختی پهنه انتهای گسلی قوزلو فراهم کرده و دانش ما را در مورد تغییر شکل درون پهنه گسلی شمال تبریز بهبود می‌بخشد. از این اطلاعات می‌توان به عنوان داده‌های پایه برای دیگر مطالعات ساختاری و زمین‌ساختی استفاده کرد. همچنین این بررسی اهمیت کاربرد پروفیل‌های حائل‌دار طولی آبراهه‌ها جهت حصول مستقیم داده‌های زمین‌ساختی از توپوگرافی را نشان می‌دهد.

سپاسگزاری

ما تشکر و قدردانی خود را از داوران محترم که با ارائه نظرات سازنده باعث بهبود این مقاله شدند، ابراز می‌داریم.

منابع:

- آقا نباتی، آ.، ۱۳۸۵. زمین‌شناسی ایران. سازمان زمین‌شناسی و اکتشافات معدنی کشور، ۵۸۶.
- بهروزی، آ.، امینی‌آذر، ب.، امامی، م.ح.، عزتیان، ف.، داوری، م.، هادوی، ف. و پرتو‌آذر، ح.، ۱۳۵۶. نقشه زمین‌شناسی ۱:۱۰۰۰۰۰ چهارگوش استان آباد-برگه ۵۳۶۵. سازمان زمین‌شناسی و اکتشافات معدنی کشور، تهران.
- مرادی سیاهکلی، ع.، تاتار، م.، هاتسفلد، د. و پل، آ.، ۱۳۸۷. مطالعه ساختار سرعتی پوسته و سازوکار گسل‌شدن در زون گسلی امتداد لغز تبریز. علوم زمین، ۷۰، ۱۴۰-۱۵۳.
- Alavi, M., 1991. Sedimentary and structural characteristics of the Paleo-Tethys remnants in northeastern Iran. Geological Society of American Bulletin, 103, 8, 983-992.
- Barrow-Huribert, S.A., 1985. Geology and neotectonics of the Upper Nevis Basin, South Island, New Zealand. MSc thesis, Oregon State University, 161.
- Cartwright, J.A. and Mansfield, C.S., 1998. Lateral displacement variation and lateral tip geometry of normal faults in Canyonlands National Park, Utah. Journal of Structural Geol-

نتیجه‌گیری

در پهنه انتهای گسلی اطراف قوزلو بررسی‌های مربوط به توپوگرافی (به‌واسطه مطالعه تغییرات نسبی ارتفاع در پهنه‌های حائل‌دار در دو مقیاس کل پهنه و پهنه‌های اطراف آبراهه‌ها)، تغییرات شبیه، شاخص عدم تقارن و اطلاعات زمین‌شناسی نشان می‌دهند که:

1. الگوی آزمیوتی بالآمدگی در پهنه مذکور بیان گر آن است که امتداد حداکثر جهت کوتاه‌شدن و فشارش N20W-S20E می‌باشد که با نتایج به دست آمده از اندازه‌گیری‌های GPS و حل مکانیسم کانونی زلزله‌ها (در مقیاسی بزرگ‌تر در منطقه شمال غرب ایران) و نیز نتایج حاصل از مطالعات دیرینه‌تنش در مجاور گسل شمال تبریز در نزدیکی پهنه انتهای گسلی قوزلو (در مقیاسی کوچک‌تر) مطابق می‌باشد.
2. ارتباط بین جهت‌گیری مذکور و امتداد گسل شمال تبریز به عنوان مرز جنوب غربی پهنه تغییر شکل مربوط تشكیل پهنه انتهای گسلی در نتیجه برش ساده در پایانه فشاری آن است.
3. افزایش هم‌زمان ارتفاع به سمت شمال شرق و جنوب شرق، کج‌شدنی حوضه‌ها به سمت جنوب شرق، شبیه سطحی بیشتر در سمت راست آبراهه‌ها، شبیه‌دار بودن لایه‌ها به سمت شمال شرق و نیز اثر سطحی گسل‌های معین شده در پهنه گسلی همگی اشاره بر این نکته دارند که پهنه انتهای گسلی قوزلو به احتمال زیاد یک ساختار دم‌اسبی از نوع انقباضی است و گسل‌های منشعب شده از گسل رده پایین تر انتظار می‌رود تا دارای مولفه شبیه‌لغز معکوس و یا رانده باشند؛ هر چند که تایید این استنباط نیازمند اندازه‌گیری‌های ساختاری در صحرا می‌باشد.
4. در داخل پهنه انتهای گسلی قوزلو انتظار می‌رود بیشترین فعالیت زمین‌ساختی در اطراف پهنه گسلی مربوط به آبراهه شماره ۵ باشد، جایی که متوسط اختلاف نسبی ارتفاع میانگین در طرفین آبراهه‌ها بیشترین مقدار را دارا می‌باشد (بزرگ‌ترین b). بیشترین انحراف مابین منحنی‌های حداکثر و حداقل ارتفاع نسبت به منحنی ارتفاع متوسط در طرفین این آبراهه نیز موید تشدید جابجایی نسبی شاقولی در اطراف پهنه گسلی مربوطه است. کمترین مقدار فعالیت نیز انتظار

- ogy, 20, 1, 3-19.
- Chinnery, M.A., 1966. Secondary faulting: II. Geological aspects. Canadian Journal of Earth Sciences, 3, 2, 175-190.
 - Davis, G.H. and Reynolds, S.J., 1996. Structural Geology of Rocks and Regions. 2nd edition, John Wiley and Sons, Incorporated, 776.
 - de Joussineau, G. and Atilla, A., 2009. Segmentation along strike-slip faults revisited. Pure and Applied Geophysics, 166, 1575-1594.
 - Eftekhar-Nezhad, A., 1975. Brief description of tectonic history and structural development of Azarbaidjan. Internal Report, Geological Survey of Iran, 1-8.
 - Huggett, R.J. 2007. Fundamentals of Geomorphology. 2nd edition, Routledge, London, 458.
 - Jaeger, C., 2009. Rock Mechanics and Engineering, 2nd edition, Cambridge University Press, Cambridge, 523.
 - Jaeger, J.C., Cook, N.G.W. and Zimmerman, R.W., 2007. Fundamentals of Rock Mechanics. 4th edition, Blackwell Publishing, Oxford, UK, 475.
 - Karakhaniana, A.S., Trifonovb, V.G., Philip, H., Avagyana, A., Hessamid, K., Jamalie, F., Bayraktutan, M.S., Bagdassariana, H., Arakelian, S., Davtian, V. and Adilkhanyan, A., 2004. Active faulting and natural hazards in Armenia, eastern Turkey and northwestern Iran. Tectonophysics, 380, 189-219.
 - Katz, O., Reches, Z., and Baer, G., 2003. Faults and their associated host rock deformation: Part I. Structure of small faults in a quartz-syenite body, southern Israel. Journal of Structural Geology, 25, 1675-1689.
 - Keller, E.A. and Pinter, N., 1996. Active Tectonics: Earthquakes, Uplift, and Landscape. Prentice Hall, New Jersey, USA, 338.
 - McLeish, A., 1992. Geological Science. Nelson Thornes, UK, 308.
 - Moores, E.M. and Twiss, R.J., 1995. Tectonics. Freeman and Company, New York, 415.
 - Shipton, Z. and Cowie, P., 2001. Damage zone and slip-surface evolution over μm to km scales in high-porosity Navajo sandstone, Utah. Journal of Structural Geology, 23, 1825-1844.
 - Talebian, M. and Jackson, J.A., 2002. Offset on the Main Recent Fault of the NW Iran and implications for the late Cenozoic tectonics of the Arabia-Eurasia collision zone. Geophysical Journal International, 150, 422-439.
 - Vernant, P., Nilforushan, F., Hatzfeld, D., Abbasi, M.R., Vigny, C., Masson, F., Nankali, H., Martinold, J., Ashtiani, A., Tavakoli, F. and Chery, J., 2004. Present-day crustal deformation and plate kinematics in the Middle East constrained by GPS measurements in Iran and northern Oman. Geophysical Journal International, 157, 38-398.
 - Wibberley, C.A.J., Kurz, W., Imber, J., Holdsworth, R.E. and Collettini, C., 2008. The Internal Structure of Fault Zones: Implications for Mechanical and Fluid-Flow Properties. Geological Society, London, Special Publications, 367.
 - Kim, Y.S., Andrews J.R. and Sanderson, D.J., 2001. Reactivated strike-slip faults: examples from north Cornwall, UK. Tectonophysics, 340, 173-194.
 - Yousefi-Bavil, A., 2012. Longitudinal profiles of bedrock rivers around North Tabriz and North Misho faults: implications for geomorphic fault segmentation (Eastern Azerbaijan province, Iran). Academy of Sciences Malaysia's Science Journal 6, 2, 107-121.
 - Yousefi-Bavil, A., 2013. Kinematical and superficial-geometrical study of North Tabriz-North Misho faults (segmentation). Unpublished PhD thesis, Geology Institute of Azerbaijan, 233.